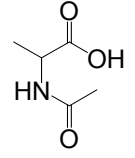
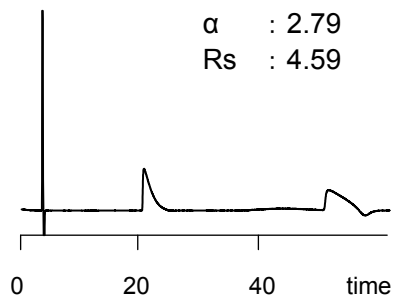
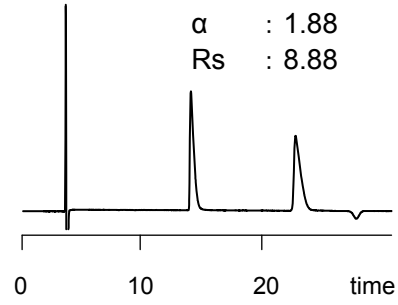
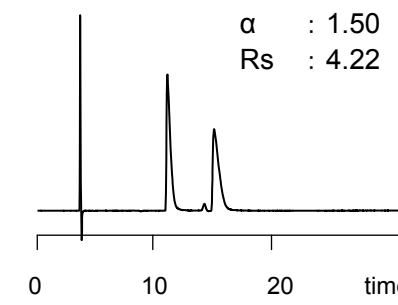
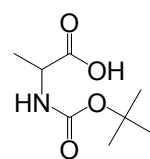
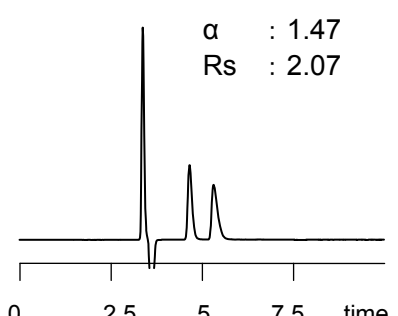
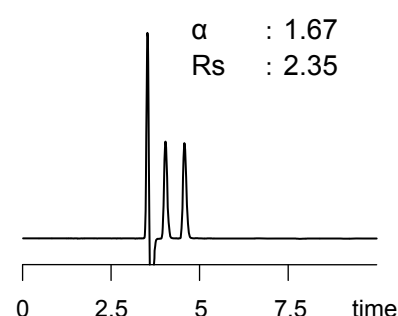
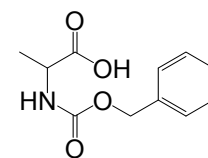
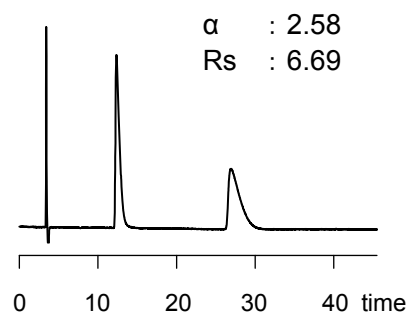
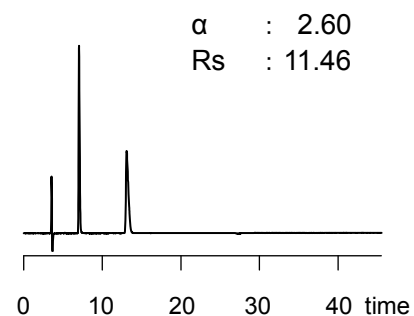
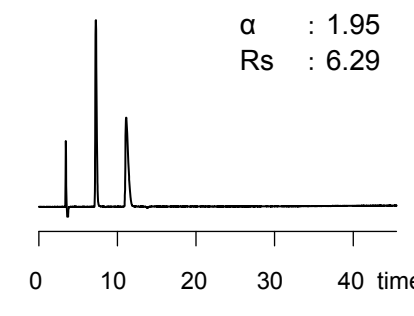
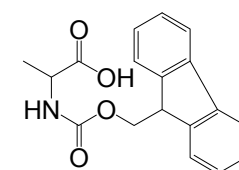
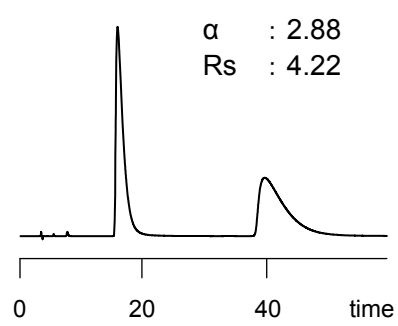
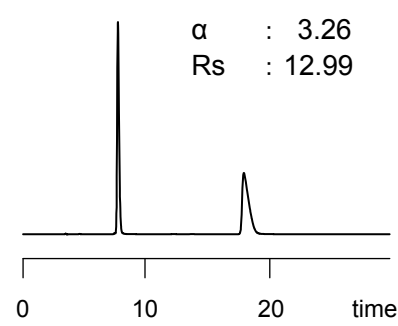
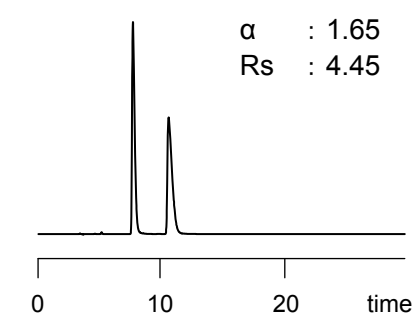
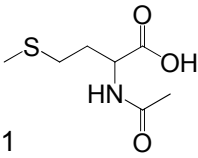
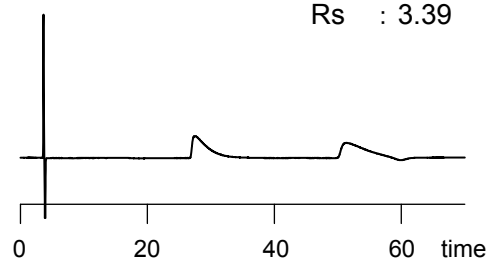
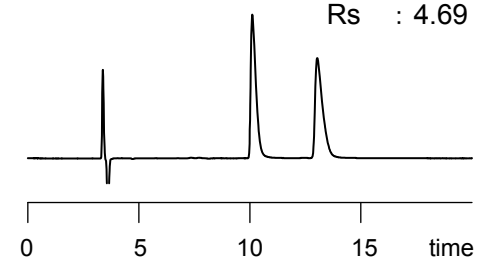
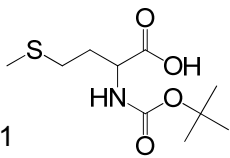
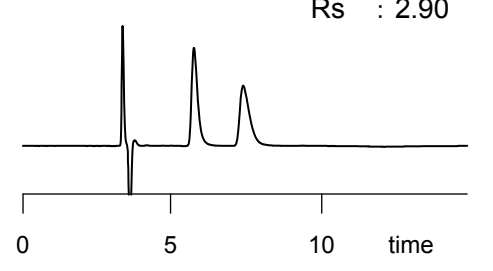
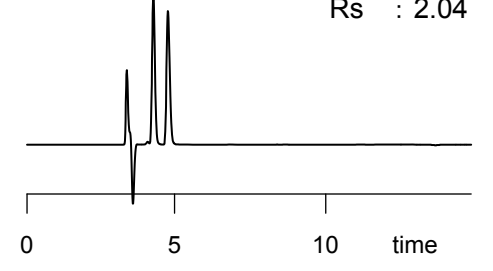
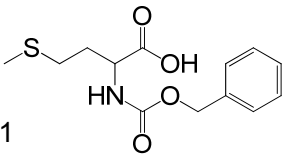
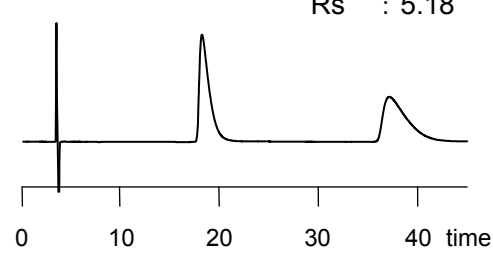
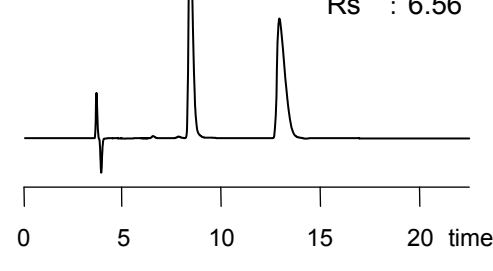
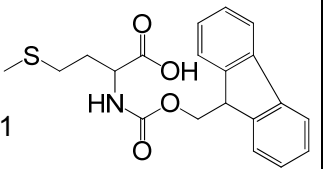
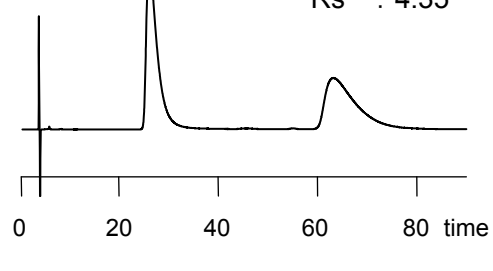
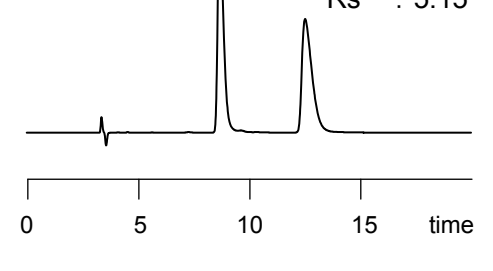


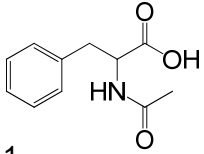
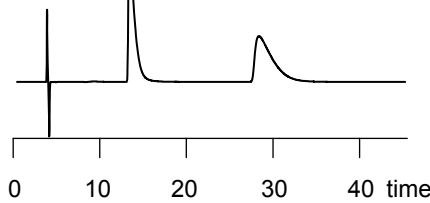
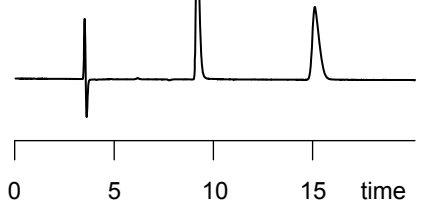
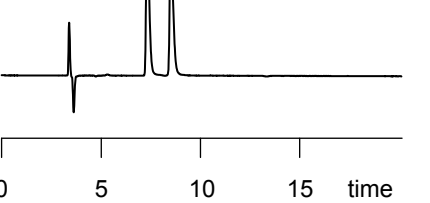
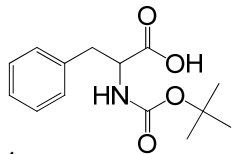
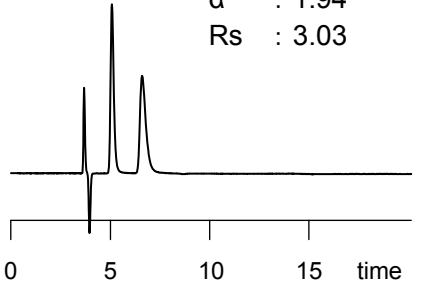
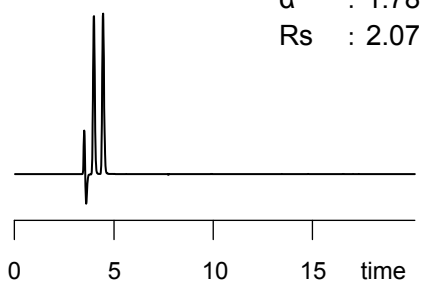
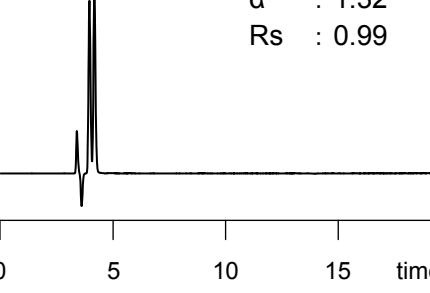
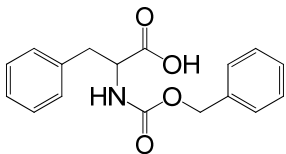
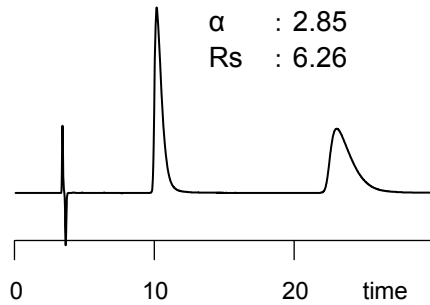
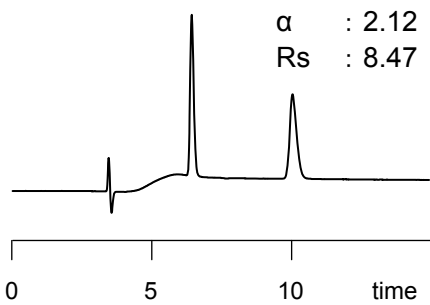
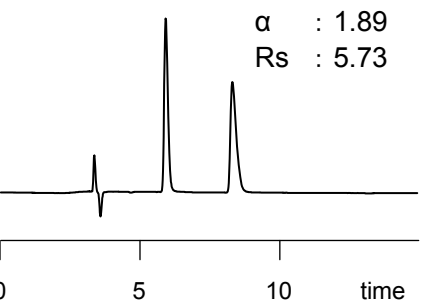
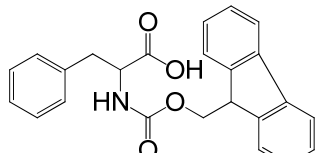
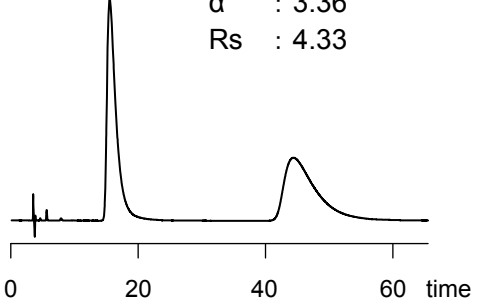
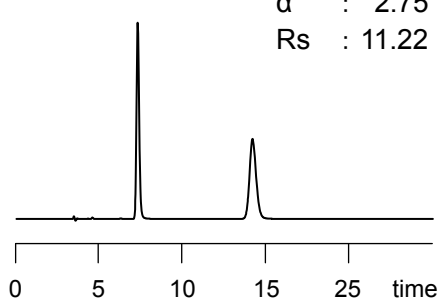
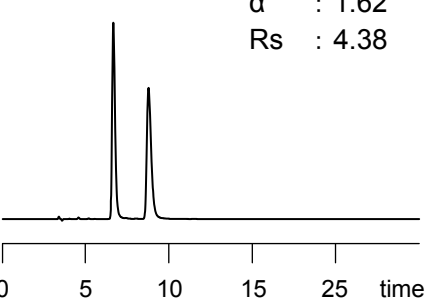
Alanine

	TCI Chiral MB-S (5 μ m)	TCI Chiral BP-S (5 μ m)	TCI Chiral CH-S (5 μ m)
<p>N-Acetyl Alanine</p> <div style="display: flex; align-items: center;"> <div style="flex: 1;"> <p>Column Size : 4.6mmI.D.×250mm Mobile Phase : Hexane/IPA/TFA = 95/5/0.1 Detection : UV 210 nm Flow Rate : 1.0 mL/min Temperature : 40 °C</p> </div> <div style="flex: 0.5; text-align: center;">  </div> </div>	 <p>α : 2.79 Rs : 4.59</p>	 <p>α : 1.88 Rs : 8.88</p>	 <p>α : 1.50 Rs : 4.22</p>
<p>N-Boc Alanine</p> <div style="display: flex; align-items: center;"> <div style="flex: 1;"> <p>Column Size : 4.6mmI.D.×250mm Mobile Phase : Hexane/IPA/TFA = 95/5/0.1 Detection : UV 210 nm Flow Rate : 1.0 mL/min Temperature : 40 °C</p> </div> <div style="flex: 0.5; text-align: center;">  </div> </div>	 <p>α : 1.47 Rs : 2.07</p>	 <p>α : 1.67 Rs : 2.35</p>	<p>α : × Rs : ×</p> <p>Non Separable</p>
<p>N-Cbz Alanine</p> <div style="display: flex; align-items: center;"> <div style="flex: 1;"> <p>Column Size : 4.6mmI.D.×250mm Mobile Phase : Hexane/IPA/TFA = 95/5/0.1 Detection : UV 210 nm Flow Rate : 1.0 mL/min Temperature : 40 °C</p> </div> <div style="flex: 0.5; text-align: center;">  </div> </div>	 <p>α : 2.58 Rs : 6.69</p>	 <p>α : 2.60 Rs : 11.46</p>	 <p>α : 1.95 Rs : 6.29</p>
<p>N-Fmoc Alanine</p> <div style="display: flex; align-items: center;"> <div style="flex: 1;"> <p>Column Size : 4.6mmI.D.×250mm Mobile Phase : Hexane/IPA/TFA = 95/5/0.1 Detection : UV 210 nm Flow Rate : 1.0 mL/min Temperature : 40 °C</p> </div> <div style="flex: 0.5; text-align: center;">  </div> </div>	 <p>α : 2.88 Rs : 4.22</p>	 <p>α : 3.26 Rs : 12.99</p>	 <p>α : 1.65 Rs : 4.45</p>

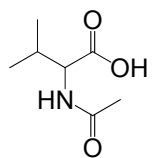
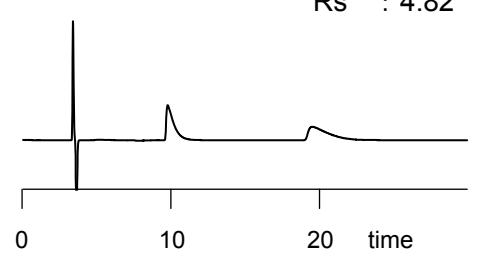
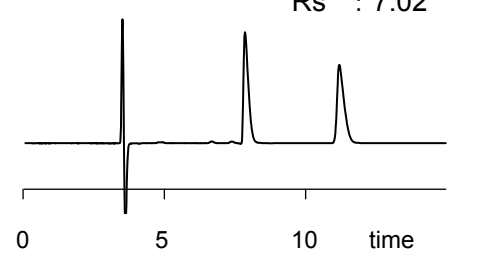
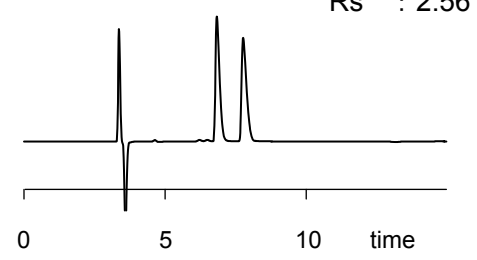
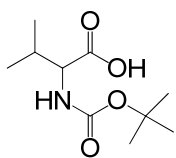
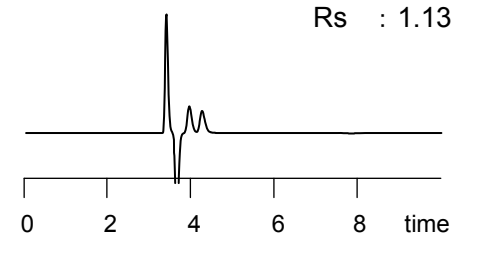
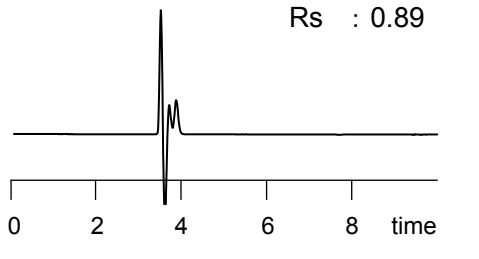

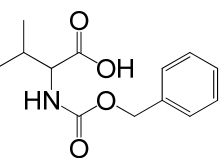
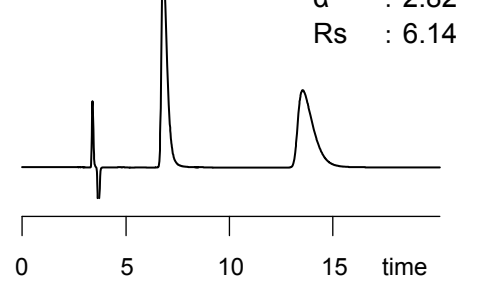
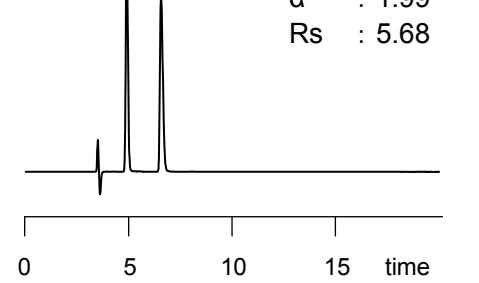
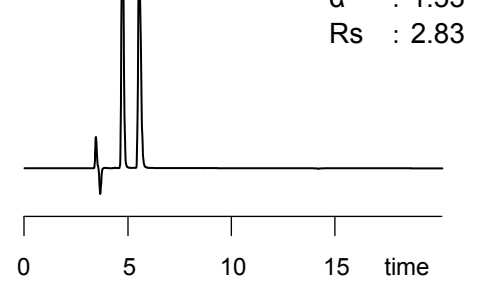
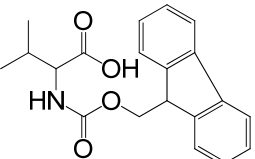
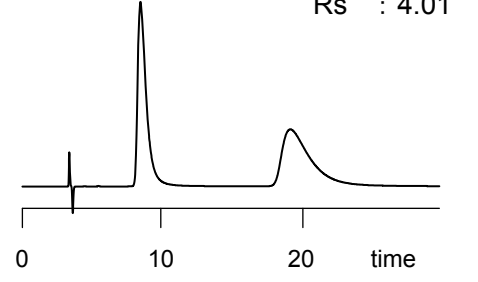
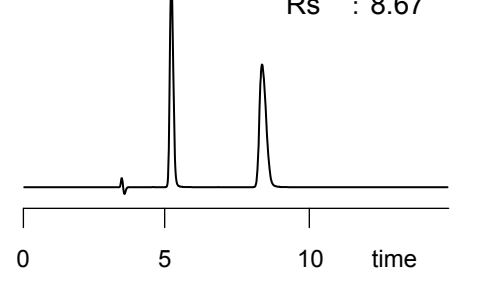
Methionine

	TCI Chiral MB-S (5 μ m)	TCI Chiral BP-S (5 μ m)	TCI Chiral CH-S (5 μ m)
<p>N-Acetyl Methionine</p>  <p>Column Size : 4.6mm I.D. x 250mm Mobile Phase : Hexane/IPA/TFA = 95/5/0.1 Detection : UV 210 nm Flow Rate : 1.0 mL/min Temperature : 40 °C</p>	<p>α : 1.99 R_s : 3.39</p> 	<p>α : \times R_s : \times</p> <p>Non Separable</p>	<p>α : 1.43 R_s : 4.69</p> 
<p>N-Boc Methionine</p>  <p>Column Size : 4.6mm I.D. x 250mm Mobile Phase : Hexane/IPA/TFA = 95/5/0.1 Detection : UV 210 nm Flow Rate : 1.0 mL/min Temperature : 40 °C</p>	<p>α : 1.64 R_s : 2.90</p> 	<p>α : \times R_s : \times</p> <p>Non Separable</p>	<p>α : 1.47 R_s : 2.04</p> 
<p>N-Cbz Methionine</p>  <p>Column Size : 4.6mm I.D. x 250mm Mobile Phase : Hexane/IPA/TFA = 95/5/0.1 Detection : UV 210 nm Flow Rate : 1.0 mL/min Temperature : 40 °C</p>	<p>α : 2.27 R_s : 5.18</p> 	<p>α : \times R_s : \times</p> <p>Non Separable</p>	<p>α : 1.92 R_s : 6.56</p> 
<p>N-Fmoc Methionine</p>  <p>Column Size : 4.6mm I.D. x 250mm Mobile Phase : Hexane/IPA/TFA = 95/5/0.1 Detection : UV 254 nm Flow Rate : 1.0 mL/min Temperature : 40 °C</p>	<p>α : 2.65 R_s : 4.35</p> 	<p>α : \times R_s : \times</p> <p>Non Separable</p>	<p>α : 1.70 R_s : 5.15</p> 

Phenylalanine

	TCI Chiral MB-S (5 μ m)	TCI Chiral BP-S (5 μ m)	TCI Chiral CH-S (5 μ m)
<p>N-Acetyl Phenylalanine</p>  <p>Column Size : 4.6mmI.D.×250mm Mobile Phase : Hexane/IPA/TFA = 95/5/0.1 Detection : UV 254 nm Flow Rate : 1.0 mL/min Temperature : 40 °C</p>	<p>α : 2.53 Rs : 5.17</p> 	<p>α : 2.00 Rs : 10.15</p> 	<p>α : 1.29 Rs : 3.19</p> 
<p>N-Boc Phenylalanine</p>  <p>Column Size : 4.6mmI.D.×250mm Mobile Phase : Hexane/IPA/TFA = 95/5/0.1 Detection : UV 254 nm Flow Rate : 1.0 mL/min Temperature : 40 °C</p>	<p>α : 1.94 Rs : 3.03</p> 	<p>α : 1.78 Rs : 2.07</p> 	<p>α : 1.32 Rs : 0.99</p> 
<p>N-Cbz Phenylalanine</p>  <p>Column Size : 4.6mmI.D.×250mm Mobile Phase : Hexane/IPA/TFA = 95/5/0.1 Detection : UV 254 nm Flow Rate : 1.0 mL/min Temperature : 40 °C</p>	<p>α : 2.85 Rs : 6.26</p> 	<p>α : 2.12 Rs : 8.47</p> 	<p>α : 1.89 Rs : 5.73</p> 
<p>N-Fmoc Phenylalanine</p>  <p>Column Size : 4.6mmI.D.×250mm Mobile Phase : Hexane/IPA/TFA = 95/5/0.1 Detection : UV 254 nm Flow Rate : 1.0 mL/min Temperature : 40 °C</p>	<p>α : 3.36 Rs : 4.33</p> 	<p>α : 2.75 Rs : 11.22</p> 	<p>α : 1.62 Rs : 4.38</p> 

Valine

	TCI Chiral MB-S (5 μ m)	TCI Chiral BP-S (5 μ m)	TCI Chiral CH-S (5 μ m)
<p>N-Acetyl Valine</p>  <p>Column Size : 4.6mm I.D. x 250mm Mobile Phase : Hexane/IPA/TFA = 95/5/0.1 Detection : UV 254 nm Flow Rate : 1.0 mL/min Temperature : 40 °C</p>	<p>α : 2.47 R_s : 4.82</p> 	<p>α : 1.72 R_s : 7.02</p> 	<p>α : 1.26 R_s : 2.56</p> 
<p>N-Boc Valine</p>  <p>Column Size : 4.6mm I.D. x 250mm Mobile Phase : Hexane/IPA/TFA = 95/5/0.1 Detection : UV 254 nm Flow Rate : 1.0 mL/min Temperature : 40 °C</p>	<p>α : 1.40 R_s : 1.13</p> 	<p>α : 1.52 R_s : 0.89</p> 	<p>α : R_s :</p> <p>Non Separable</p> 
<p>N-Cbz Valine</p>  <p>Column Size : 4.6mm I.D. x 250mm Mobile Phase : Hexane/IPA/TFA = 95/5/0.1 Detection : UV 254 nm Flow Rate : 1.0 mL/min Temperature : 40 °C</p>	<p>α : 2.82 R_s : 6.14</p> 	<p>α : 1.99 R_s : 5.68</p> 	<p>α : 1.53 R_s : 2.83</p> 
<p>N-Fmoc Valine</p>  <p>Column Size : 4.6mm I.D. x 250mm Mobile Phase : Hexane/IPA/TFA = 95/5/0.1 Detection : UV 254 nm Flow Rate : 1.0 mL/min Temperature : 40 °C</p>	<p>α : 3.02 R_s : 4.01</p> 	<p>α : 2.72 R_s : 8.67</p> 	<p>α : 1.32 R_s : 1.74</p> 